

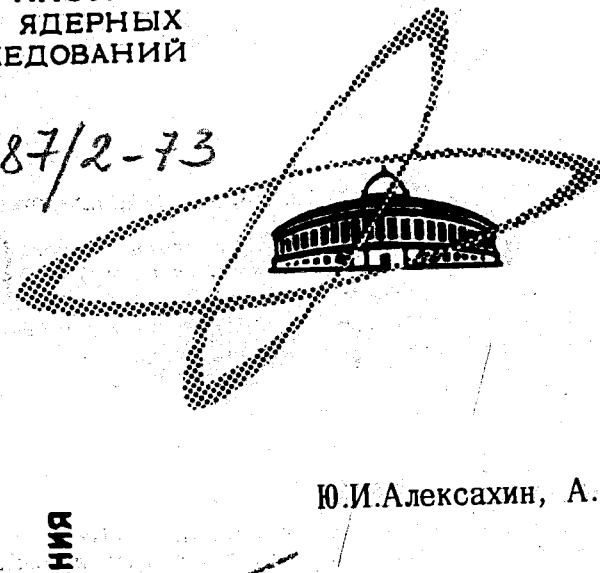
A - 469

ОБЪЕДИНЕННЫЙ
ИНСТИТУТ
ЯДЕРНЫХ
ИССЛЕДОВАНИЙ

Дубна

287/2-73

P9 - 6787



Ю.И.Алексахин, А.Г.Бонч-Осмоловский

ОБ ОТРАЖЕНИИ ДВИЖУЩИХСЯ ЗАРЯДОВ
И ТОКОВ В МЕТАЛЛЕ

ОТДЕЛ НОВЫХ МЕТОДОВ УСКОРЕНИЯ

1972

P9 - 6787

Ю.И.Алексахин, А.Г.Бонч-Осмоловский

ОБ ОТРАЖЕНИИ ДВИЖУЩИХСЯ ЗАРЯДОВ
И ТОКОВ В МЕТАЛЛЕ

Направлено в ЖТФ

Объединенный институт
ядерных исследований
БИБЛИОТЕКА

Теория отражения развита в электростатике и магнитостатике и служит удобным методом для нахождения полей зарядов и токов вблизи поверхностей раздела сред с различными ϵ и μ . Некоторые применения отражения в динамических задачах можно найти в работах /1,2,4/.

Ниже на примере простой модели будут рассмотрены условия отражения зарядов и токов, движущихся вблизи поверхности металла с конечной проводимостью.

Известно, что покоящийся заряд отражается в металле независимо от проводимости последнего. Условия отражения при движении заряда в принципе могут зависеть от величины проводимости металла. В идеальном металле / $\sigma = \infty$ / отражается любой ток, в том числе и постоянный, при этом на границе между вакуумом и металлом нормальная составляющая магнитного поля равна нулю *. Для реальных металлов условия токового отражения могут быть выполнены лишь для переменного во времени тока.

Пусть параллельно плоской поверхности металла с проводимостью σ перемещается со скоростью v бесконечно тонкая нить на расстоянии d от поверхности металла, имеющая в общем случае заряд на единицу длины q и ток I /в собственной системе отсчета/. Предположим, что металл имеет конечную толщину h и $\mu = 1$. Рассмотрение проведем в декартовой системе координат, в которой ось z направлена вдоль поверхности металла параллельно v и ось y - параллельно току нити.

* Оговоримся, что в стационарном случае это правильно, если учесть процесс возникновения постоянного тока. Вследствие бесконечно большой величины постоянной затухания для идеального металла указанное граничное условие сохранится и в стационарном режиме.

Тогда плотность заряда и тока можно представить в виде:

$$\rho = q \delta(x - d) \delta(z - vt)$$

$$j_y = I/\gamma \delta(x - d) \delta(z - vt)$$

/1/

$$j_z = qv \delta(x - d) \delta(z - vt), \quad \gamma = (1 - v^2/c^2)^{-1/2}$$

Решение для зарядов ($I = 0$) определяется потенциалом Φ и A_z - составляющей векторного потенциала, которая, очевидно, в данном случае равна просто $A_z = \beta\Phi$. Таким образом, достаточно найти Φ и тогда определяются компоненты поля

$$E_z(x, z - vt) = -(1 - \beta^2) \frac{\partial \Phi}{\partial x}, \quad E_x = -\frac{\partial \Phi}{\partial z}, \quad H_y = \beta E_z. \quad /2/$$

Токовое решение ($q = 0$) определяется A_y - составляющей векторного потенциала и имеет компоненты поля

$$H_x(x, z - vt) = -\frac{\partial A_y}{\partial z}, \quad H_z = \frac{\partial A_y}{\partial x}, \quad E_y = -\beta H_x. \quad /3/$$

Будем искать решение в форме, соответствующей разложению полей на плоские волны, например:

$$\Phi = \int_{-\infty}^{+\infty} \Phi_k(x) e^{ik(z-vt)} dk. \quad /4/$$

Поскольку в силу /1/ A_y и A_z определяются совершенно аналогично Φ , наметим ход решения для Φ . В вакууме, где летит токовая нить, уравнение для Φ после использования /4/ и

$$\delta(z - vt) = \frac{1}{2\pi} \int_{-\infty}^{+\infty} e^{ik(z-vt)} dk \quad \text{имеет вид:}$$

$$\frac{d^2 \Phi_k}{dx^2} - \frac{k^2}{\gamma^2} \Phi_k = -2q \delta(x-d). \quad /5/$$

Если записать правую часть /3/ в виде $\delta(x-d) = \frac{1}{2\pi} \int_{-\infty}^{+\infty} e^{ik(x-d)} dk$, то решение /5/ таково:

$$\Phi_k = \frac{q}{\pi} \int_{-\infty}^{+\infty} \frac{e^{ik(x-d)}}{\kappa^2 + k^2/\gamma^2} dk + A e^{-\frac{|k|}{\gamma} x}. \quad /6/$$

Здесь A - произвольная постоянная.

Интеграл в /6/ имеет особенность при $k = 0$, связанную, по существу, с особенностью потенциала бесконечно-длинной нити. Так как в дальнейшем нас будут интересовать поля, выражения для которых не имеют такой особенности, при вычислении интеграла будем считать $k \neq 0$.

Тогда с помощью интегрирования в комплексной плоскости легко показать, что

$$\int_{-\infty}^{+\infty} \frac{e^{ik(x-d)}}{\kappa^2 + k^2/\gamma^2} dk = \begin{cases} \frac{e^{-k/\gamma|x-d|}}{\pi \frac{k/\gamma}{e^{-k/\gamma|x-d|}}} & , k > 0 \\ \frac{e^{-k/\gamma|x-d|}}{\pi \frac{|k/\gamma|}{e^{-k/\gamma|x-d|}}} & , k < 0. \end{cases} \quad /7/$$

Для нахождения полей в металле решаем уравнение для Фурье - составляющих полей вида:

$$\text{и } \frac{d^2 f_k}{dx^2} - r^2 f_k = 0, \quad r = \sqrt{k^2 - i \frac{4\pi\sigma}{c^2} kv}. \quad /8/$$

$$f_k = B e^{rx} + C e^{-rx}.$$

Произвольные постоянные в решениях /6/, /8/ и для второй вакуумной области ($x - h$) определяем из граничных условий непрерывности E_x и H_x при $x = 0$ и $x = -h$. В результате окончательно получаем для поля при $x > 0$:

$$E_z = -\frac{i q}{\gamma} \int_{-\infty}^{+\infty} \frac{k}{|k|} e^{-\frac{|k|}{\gamma}(x-d) + ik(z-vt)} dk + \frac{i q}{\gamma} \int_{-\infty}^{+\infty} \frac{k}{|k|} e^{-\frac{|k|}{\gamma}(x+d) + ik(z-vt)} F_E(k) dk.$$

Остальные поля зарядового решения отсюда определяются так:

$$E_z^{(k)} = -\frac{i \gamma^2}{k} \frac{\partial E_z^{(k)}}{\partial x}, \quad H_y = \beta E_x.$$

$$H_x = -i \frac{1}{\gamma} \int_{-\infty}^{+\infty} \frac{k}{|k|} e^{-\frac{|k|(x-d)}{\gamma} + ik(z-vt)} dk + i \frac{1}{\gamma} \int_{-\infty}^{+\infty} \frac{k}{|k|} e^{-\frac{|k|(x+d)}{\gamma} + ik(z-vt)} F_H(k) dk.$$

/10/

Зная H_x , легко определить и другие составляющие поля токового решения:

$$E_y = -\beta H_x, \quad H_z^{(k)} = \frac{i}{k} \frac{\partial H_x^{(k)}}{\partial x}.$$

В формулах /9/ и /10/ введены функции $F_E(k)$ и $F_H(k)$, которые можно назвать коэффициентами зарядового и токового отражения, соответственно. Как видно из /9/ и /10/, когда

$$F_E(k) = 1 \quad \text{и} \quad F_H(k) = 1 \quad /11/$$

для всех k , дающих заметный вклад в интегралы, имеет место отражение в металле заряда и тока, соответственно.

Эти коэффициенты таковы:

$$F_E(k) = \left(1 + \frac{\tau^2 v^2 \gamma^2}{16\pi^2 \sigma^2}\right) \frac{e^{2\tau b} - I}{e^{2\tau b} \left(l - i \frac{k}{|k|} \frac{\tau v \gamma}{4\pi\sigma}\right)^2 - \left(l + i \frac{k}{|k|} \frac{\tau v \gamma}{4\pi\sigma}\right)^2}$$

$$F_H(k) = (\tau^2 \gamma^2 - k^2) \cdot \frac{e^{2\tau b} - I}{e^{2\tau b} (\tau \gamma + |k|)^2 - (\tau \gamma - |k|)^2} \quad /13/$$

Точные равенства /11/ имеют место лишь при $\sigma \rightarrow \infty$, т.е. для идеального металла. При конечном σ речь может идти о приближенных условиях отражения, когда /11/ выполняются с достаточной степенью точности.

Рассмотрим прежде всего часто встречающийся в анализе случай полубесконечного металла, т.е. $h \rightarrow \infty$. Тогда F_E и F_H равны

$$F_E(k) = \frac{l + i \frac{k}{|k|} \frac{\tau v \gamma}{4\pi\sigma}}{l - i \frac{k}{|k|} \frac{\tau v \gamma}{4\pi\sigma}} \quad /14/$$

$$F_H(k) = \frac{\tau \gamma - |k|}{\tau \gamma + |k|} \quad /15/$$

Отметим следующее важное обстоятельство. Если выполнено условие:

$$\frac{4\pi\sigma}{kv} \gg \frac{1}{\beta^2} \quad /16/$$

для всех k , дающих заметный вклад в интегралы /9/, /10/,

($k < k_m = \frac{\gamma}{d}$), то решения в виде /9/, /10/, /14/ и /15/ совпадают с теми, которые можно получить на основе граничных условий Леонтьевича. Последние для нашего случая имеют вид /см., например, /3/:

$$E_y \Big|_{x=0} = -\zeta H_z \Big|_{x=0}$$

$$E_z \Big|_{x=0} = \zeta H_y \Big|_{x=0}, \quad \zeta = (1-i) \sqrt{\frac{k v}{4 \pi \sigma}}. \quad /17/$$

С помощью /17/ решение для F_H , например, имеет вид: $F_H = \frac{i \beta \gamma + \zeta}{i \beta \gamma - \zeta}$, и при условии /16/ оно совпадает с /15/.

Следовательно, /16/ в данной задаче /движение вблизи плоской границы/ представляет собой критерий применимости граничных условий Леонтьевича. Перепишем /16/ в другом виде, введя "диэлектрическую проницаемость" металла $\epsilon = i \frac{4 \pi \sigma}{\omega}$.

$$\beta^2 |\epsilon| \gg 1. \quad /18/$$

В форме /18/ критерий применимости условий Леонтьевича является обобщением критерия, полученного в работе Морозова /5/, на случай сред с большим поглощением. В релятивистском случае ($\beta \approx 1$) условие /16/ выполнено для всех реальных металлов, оно совпадает, фактически, с условием пренебрежения токами смещения по сравнению с токами проводимости ($\frac{\sigma}{\omega} \gg 1$), что и предполагалось при записи уравнений поля в металле в форме /8/.

В нерелятивистском случае ($\beta \ll 1$), вводя глубину скин-слоя

$$\delta = \sqrt{\frac{c^2}{2 \pi \sigma k v}}, \text{ можно записать условие /16/ в такой форме:}$$

$$\delta \ll \frac{1}{k}; \quad \delta \ll \lambda.$$

/19/

Достаточно потребовать выполнения /19/ для максимальной частоты

$$\omega_m = \frac{v}{d}, \text{ тогда}$$

$$\delta_m \ll d.$$

/20/

Вернемся к анализу условий отражения. Формула /15/ показывает, что токовое отражение в полубесконечном металле происходит, если выполнено

$$\frac{k}{|\tau| \gamma} \ll 1$$

$$\text{или } d |\tau| \gg 1.$$

/21/

В релятивистском случае это условие всегда выполнено, а в нерелятивистском оно совпадает с /16/ или /20/.

Для движущегося заряда отражение, как показывает формула /14/, будет иметь место, если

$$\frac{|\tau| v \gamma}{4 \pi \sigma} \ll 1.$$

/22/

Это условие при нерелятивистских скоростях движения нити ($v \ll c$) для реальных металлов всегда выполнено. В релятивистском случае, поскольку предполагается выполнение основного условия

для металла $\frac{\sigma}{\omega} \gg 1$ или, для максимальной частоты $\gamma \ll \frac{4 \pi \sigma}{c} d$,

/22/ эквивалентно требованию

$$(\beta \gamma)^3 \ll \frac{4 \pi \sigma d}{c}.$$

/23/

Перейдем к случаю металла конечной толщины. Анализ формул /12/ и /13/ показывает, что отражение зарядов и токов в металле

происходит снова лишь при выполнении основных условий /21/ и /22/. Однако при конечном h появляются дополнительные требования. Если /21/ и /22/ выполнены, то F_H и F_E близки в единице во всей области существенных k , если выполнены соответственно условия:

$$\frac{2k}{|\tau| \gamma} \ll |\tau h \tau h|, \quad /24/$$

$$\frac{|\tau| v \gamma}{2 \pi \sigma} \ll |\tau h \tau h|. \quad /25/$$

Отсюда следует, что толщина металла ограничена снизу требованиями:

$$h \gg \frac{c}{2 \pi \sigma \beta \gamma} = \frac{\delta_m^2}{d} \quad /26/$$

для существования токового отражения и

$$h \gg \frac{c \beta \gamma}{2 \pi \sigma} \quad /27/$$

для зарядового отражения.

В связи с /26/ интересно отметить, что токовое отражение может иметь место не только в физически очевидном случае $\delta_m \ll d$, $\delta_m \ll h$ /4/, но и при $h \ll \delta_m$.

Для тока при условии /21/ и

$$h \ll \delta_m \quad /28/$$

можно получить, разлагая экспоненту в /13/ и проводя интегрирование в /10/, следующее простое выражение для отраженного поля:

$$H_x = -\frac{2I}{c \gamma} \cdot \frac{\kappa}{1 + \kappa^2} \cdot \frac{\kappa(z - vt) - \frac{x+d}{\gamma}}{(z - vt)^2 + (\frac{x+d}{\gamma})^2}, \quad /29/$$

где

$$\kappa = \frac{2 \pi \sigma h}{c} \beta \gamma.$$

При $\kappa \gg 1$, что совпадает с условием /26/, /29/, имеет вид поля идеально отраженного тока. Из /29/ следует выражение для силы торможения /на единицу длины токовой нити/ вблизи металла:

$$f_z^H = -\frac{1}{d\gamma} \left(\frac{I}{c}\right)^2 \frac{\kappa}{1+\kappa^2} . \quad /30/$$

Аналогичные выражения можно получить для заряженной нити. Если выполнено /22/ и

$$h \ll \min \left\{ \delta, \frac{d}{\gamma} \right\} , \quad /31/$$

то

$$E_z \approx -\frac{2q}{\gamma} \frac{p}{1+p^2} \cdot \frac{p(z-vt) + \frac{x+d}{\gamma}}{(z-vt)^2 + (\frac{x+d}{\gamma})^2} , \quad /32/$$

$$\text{где } p = \frac{2\pi\sigma h}{c} \cdot \frac{1}{\beta\gamma} .$$

Сила торможения теперь равна:

$$f_z^E = -\frac{q^2}{d} \cdot \frac{p}{1+p^2} . \quad /33/$$

Отметим, что полученные выражения для силы торможения /30/ и /33/ вблизи металла малой толщины имеют характерные максимумы /при $\kappa=1$ и $p=1$ /, имеющие, видимо, то же происхождение, что и максимумы силы торможения вблизи полубесконечного металла /6.7/.

Авторы считают своим приятным долгом поблагодарить Г.М.Болотовского и И.Л.Коренева за полезные замечания.

Литература

1. А.Г.Бонч-Осмоловский, Г.В.Долбилов, И.Н.Иванов, Э.А.Перельштейн, В.П.Саранцев, О.И.Ярковой. Препринт ОИЯИ Р9-4135, Дубна, 1968.
2. L.J.Laslett. Brookhaven, BNL-7534 (1963).
3. Л.Д.Ландау, Е.М.Лифшиц. "Электродинамика сплошных сред", ГИТГЛ, Москва, 1957.
4. А.Г.Бонч-Осмоловский. Сообщения ОИЯИ, Р9-6318, Дубна, 1972.
5. А.И.Морозов. ЖЭТФ, 33, 933 /1957/.
6. А.И.Морозов. ЖЭТФ, 31, 1079 /1956/.
7. Г.В.Воскресенский, И.Л.Коренев, В.Н.Курдюмов, М.Л.Левин. Симпозиум по коллективным методам ускорения, Дубна, Д9-6707, 1972.

**Рукопись поступила в издательский отдел
2 ноября 1972 года.**